

2.5. Электродвигатели

2.5.1. Транзисторное управление двигателями

Электрический двигатель — это машина, преобразующая электрическую энергию в механическую. Первые электродвигатели появились в середине 19 века. Успехи в их разработке связывают с именами таких выдающихся физиков и инженеров, как Н. Тесла, Б. Якоби, Г. Феррарис, В. Сименс.

Различают электродвигатели постоянного и переменного тока. Преимущество первых заключается в возможности экономичного и плавного регулирования частоты вращения вала. Преимущество вторых — большая удельная мощность на единицу веса. В микроконтроллерной практике часто применяют низковольтные двигатели постоянного тока, используемые в бытовых и компьютерных вентиляторах (Табл. 2.13). Встречаются также конструкции с сетевыми двигателями.

Таблица 2.13. Параметры вентиляторов фирмы Sunon

Вентилятор	$U_{\text{РАБ}}$ [В]	$I_{\text{РАБ}}$ [А]	Поток [м ³ /ч]	Скорость [об/мин]	Габариты [мм]
KD0501...KD0506	5	0.1...0.39	1...30	4000...14000	20x20x10...60x60x15
KD1202...KD1206	12	0.06...0.1	3...23	4200...10000	25x25x10...60x60x10
KD2404...KD2406	24	0.05...0.08	11...30	4000...6000	40x40x10...60x60x15

Обмотку двигателя следует рассматривать как катушку с большой индуктивностью, поэтому её можно коммутировать обычными транзисторными ключами (Рис. 2.78, а...т). Главное — это не забыть про защиту от ЭДС самоиндукции.

В двигателях постоянного тока имеется возможность изменять направление вращения ротора в зависимости от полярности рабочего напряжения. В таких случаях широко используют мостовые схемы «H-bridge» (Рис. 2.79, а...и).

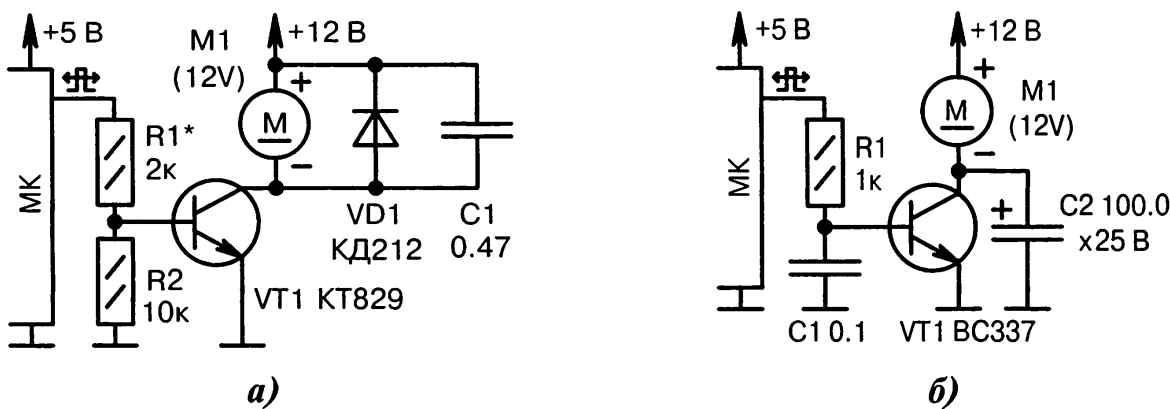


Рис. 2.78. Схемы подключения электродвигателей через транзисторные ключи (начало):

а) регулирование скорости потока воздуха вентилятора $M1$. Конденсатор $C1$ уменьшает ВЧ-помехи. Диод $VD1$ защищает транзистор $VT1$ от выбросов напряжения. Резистор $R1$ определяет степень насыщения транзистора $VT1$, а резистор $R2$ закрывает его при рестарте МК. Частота импульсов ШИМ на выходе МК должна быть не менее 30 кГц, т.е. за пределами звукового диапазона, чтобы исключить неприятный «свист». Элементы $C1$ и $R2$ могут отсутствовать;

б) плавное регулирование частоты вращения вала двигателя $M1$ через канал ШИМ. Конденсатор $C1$ является первичным, а конденсатор $C2$ — вторичным фильтром сигналов ШИМ; Θ

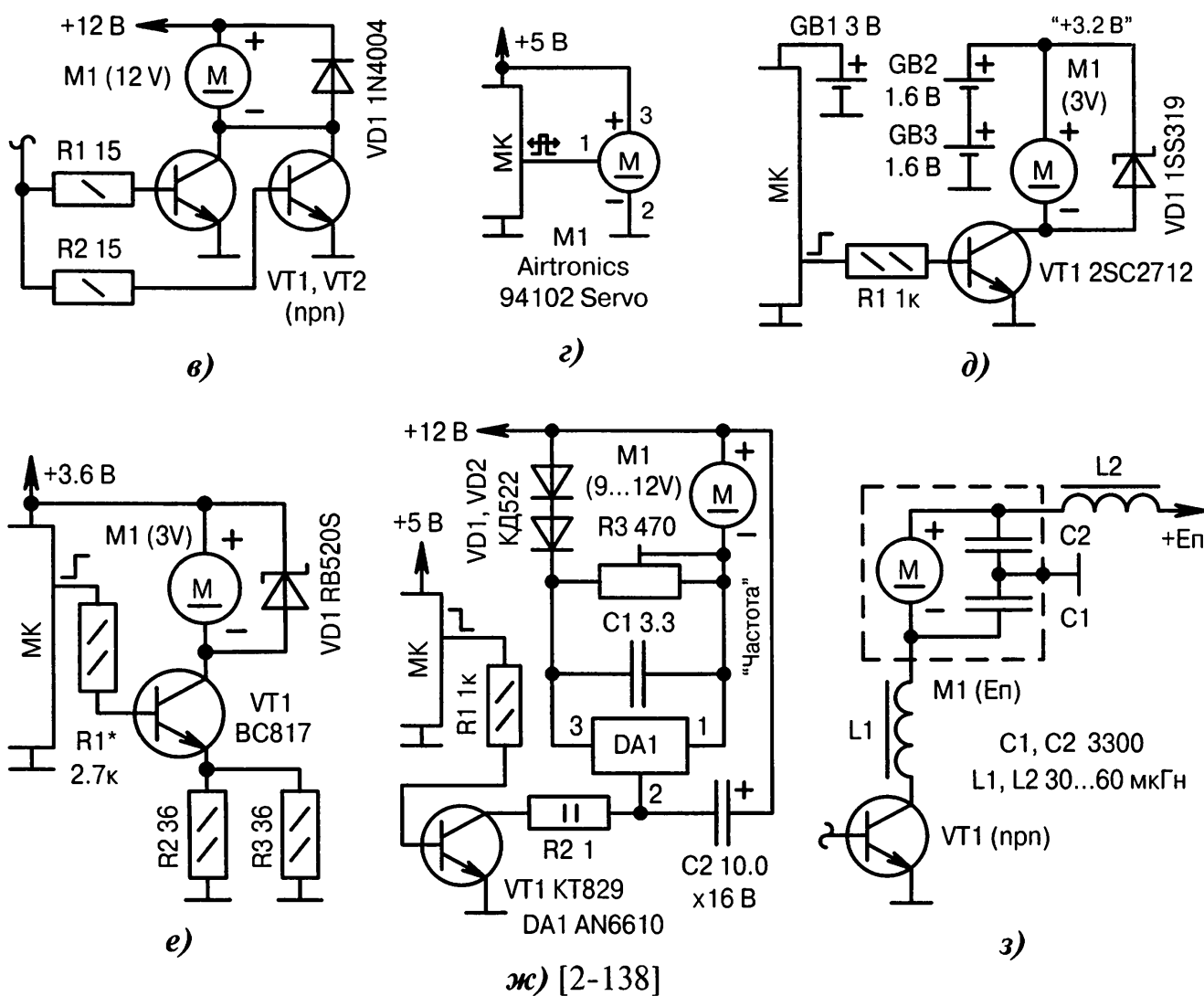


Рис. 2.78. Схемы подключения электродвигателей через транзисторные ключи (продолжение):

в) транзисторы VT_1, VT_2 соединяются параллельно для увеличения суммарного коллекторного тока. Резисторы R_1, R_2 обеспечивают равномерную нагрузку по мощности на оба транзистора, что связано с разбросом у них коэффициентов $h_{21\alpha}$ и ВАХ переходов «база — эмиттер»;

г) двигатель M_1 (фирма Airtronics) имеет «цифровой» вход управления, что позволяет подключать к нему МК напрямую. Транзисторные ключи (драйверы) находятся внутри двигателя;

д) два отдельных источника питания позволяют значительно снизить влияние на МК электрических помех, которые генерирует двигатель M_1 . Система будет работать устойчивее. GB_1 — это маломощная литиевая батарея, GB_2, GB_3 — это пальчиковые гальванические элементы с общим напряжением 3.2 В и мощностью, достаточной для запуска и работы двигателя M_1 ;

е) параллельные резисторы R_2, R_3 служат ограничителями тока, протекающего через двигатель M_1 . Кроме того, они стабилизируют ток в нагрузке, если транзистор VT_1 находится в активном режиме или на грани ввода в режим насыщения;

ж) МК включает/выключает двигатель M_1 . Резистором R_3 подстраивается частота оборотов его вала. Стабилизатором служит «магнитофонная» микросхема DA_1 фирмы Panasonic. С её помощью на зажимах двигателя M_1 поддерживаются постоянные параметры, которые практически не зависят от колебаний температуры и напряжения питания;

з) дроссели L_1, L_2 и конденсаторы C_1, C_2 фильтруют излучаемые двигателем M_1 радиопомехи. С той же целью двигатель помещается в заземлённый экранированный корпус;

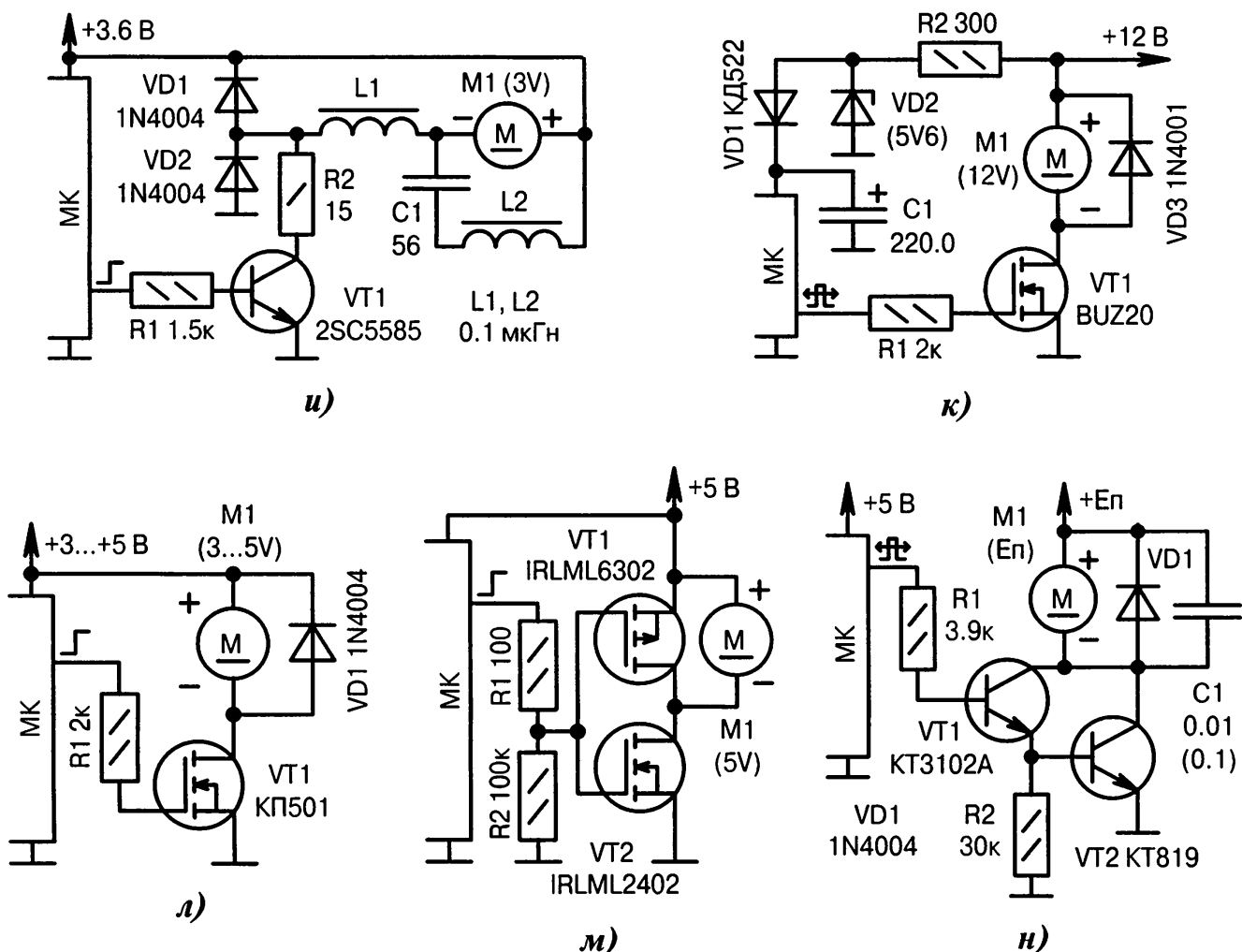


Рис. 2.78. Схемы подключения электродвигателей через транзисторные ключи (продолжение):

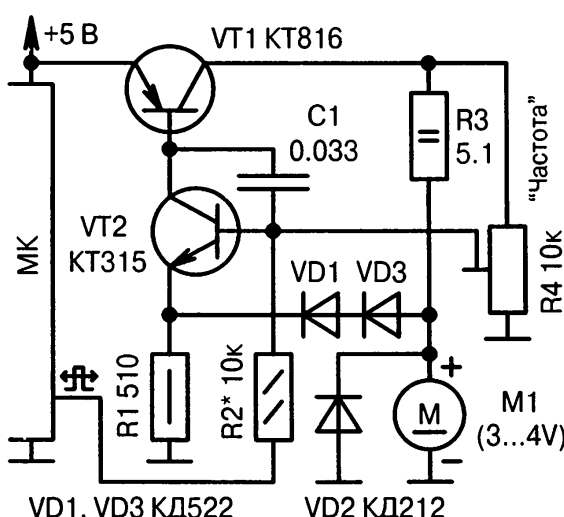
и) вибромотор M_1 является источником мощных электромагнитных и радиочастотных помех. Элементы L_1 , L_2 , C_1 служат фильтрами. Резистор R_2 ограничивает пусковой ток через двигатель при открытом транзисторе VT_1 . Диоды VD_1 , VD_2 срезают вершины импульсных помех;

к) элементы VD_1 , C_1 и VD_2 , R_2 фильтруют помехи по питанию, которые генерирует двигатель M_1 в направлении к МК. Частоту оборотов вала двигателя можно плавно регулировать через канал ШИМ МК, при этом отдельный ФНЧ не требуется, поскольку двигатель имеет большую инерцию и сам сглаживает проходящие через него ВЧ-импульсы тока;

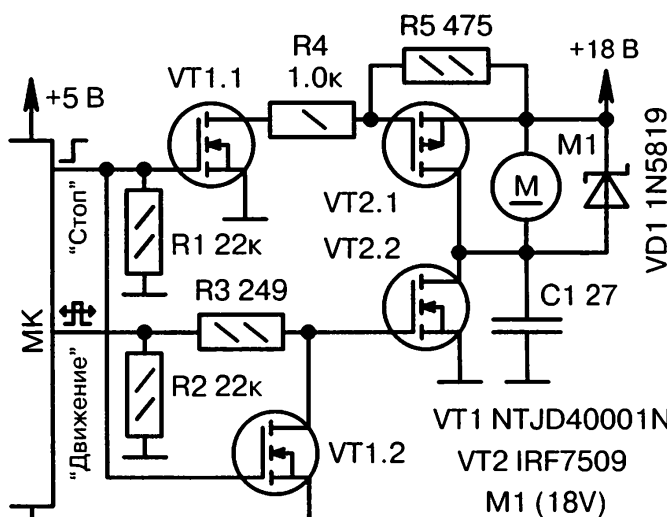
л) применение ключа на полевом транзисторе VT_1 повышает КПД по сравнению с ключом на биполярном транзисторе, ввиду более низкого сопротивления «сток — исток». Резистор R_1 ограничивает амплитуду наводок, которые могут «просачиваться» от работающего двигателя M_1 во внутренние цепи МК через ёмкость «затвор — сток» транзистора VT_1 ;

м) транзистор VT_2 является мощным силовым ключом, который подаёт питание на двигатель M_1 , а транзистор VT_1 — демпфером, который быстро тормозит вращение вала после выключения. Резистор R_1 снижает нагрузку на выход МК при заряде ёмкостей затворов полевых транзисторов VT_1 , VT_2 . Резистор R_2 отключает двигатель M_1 при рестарте МК;

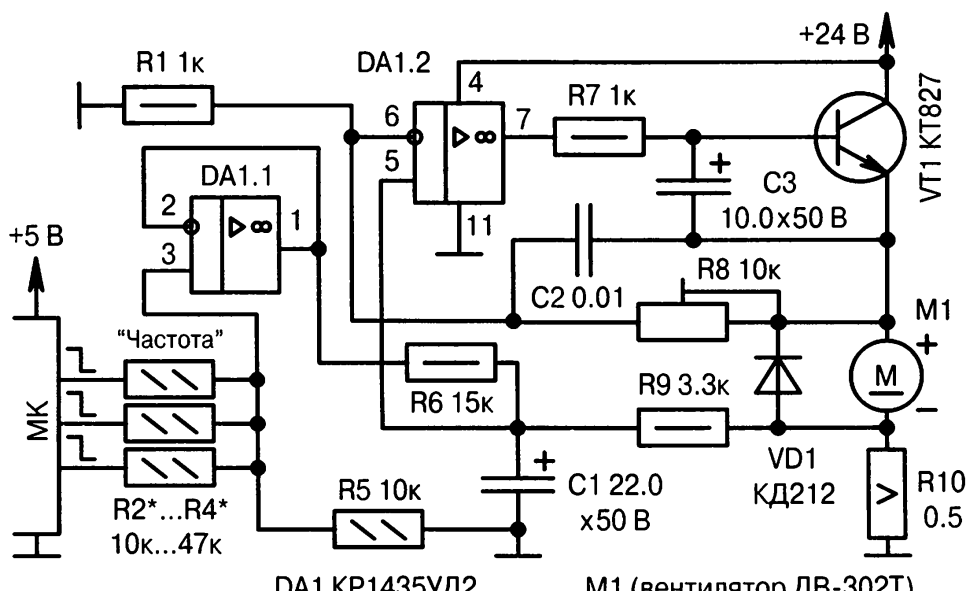
н) ключ на транзисторах VT_1 , VT_2 собран по схеме Дарлингтона и имеет большое усиление. Для регулирования скорости вращения вала двигателя M_1 может применяться метод ШИМ или фазо-импульсное управление. Система не имеет обратной связи, поэтому при снижении скорости вращения из-за внешнего торможения будет уменьшаться рабочая мощность на валу;



м)



о) [2-139]



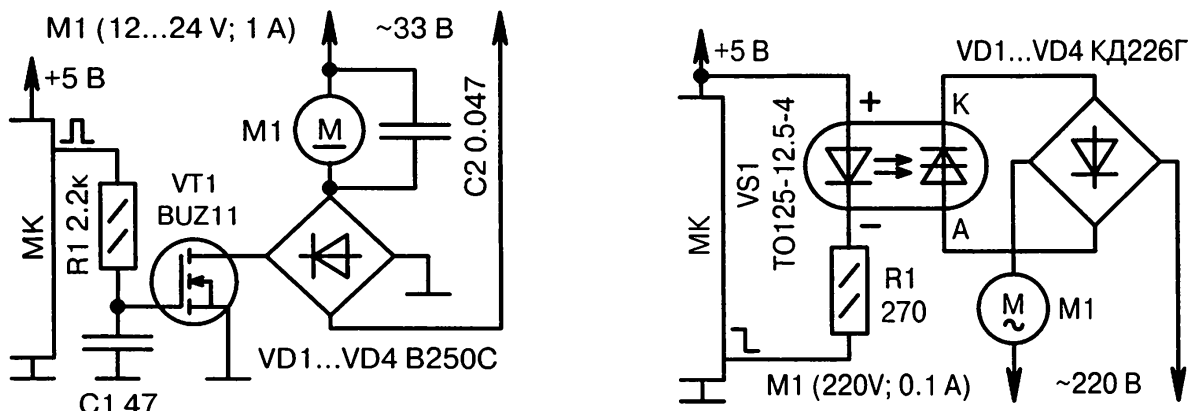
н)

Рис. 2.78. Схемы подключения электродвигателей через транзисторные ключи (продолжение):

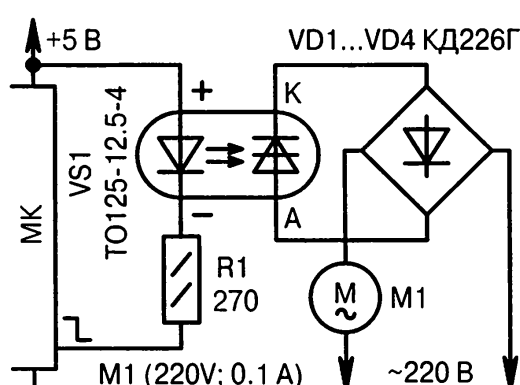
м) встраивание МК в уже существующий тракт регулирования скорости вращения вала двигателя M_1 . В этот тракт входят все элементы схемы, кроме резистора R_2 . Резистором R_4 выставляется «грубая» частота вращения. Точная подстройка осуществляется импульсами с выхода МК. Возможна организация обратной связи, когда МК следит за каким-либо параметром и динамично подстраивает скорость вращения в зависимости от напряжения питания или температуры;

о) скорость вращения вала двигателя M_1 определяется скважностью импульсов в канале ШИМ, генерируемых с нижнего выхода МК. Основным коммутирующим ключом служит транзистор $VT_{2.2}$, остальные транзисторные ключи участвуют в быстрой остановке двигателя M_1 по сигналу ВЫСОКОГО уровня с верхнего выхода МК;

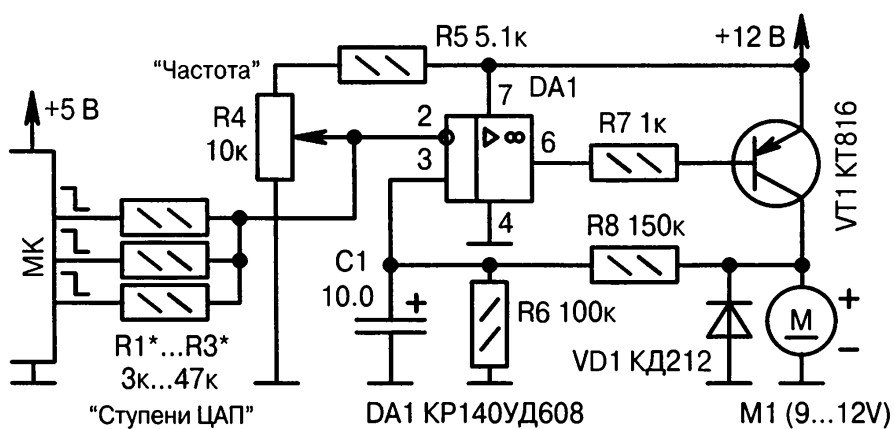
п) плавное регулирование частоты оборотов вала двигателя M_1 производится резистором R_8 . ОУ DA_1 служит стабилизатором напряжения с двойной обратной связью через элементы R_1, R_8, C_2 и R_9, R_{10}, C_1 . Комбинацией уровней с трёх выходов МК (ЦАП) можно ступенчато изменять скорость вращения вала двигателя M_1 (точный подбор резисторами $R_2 \dots R_4$). Линии МК могут переводиться в режим входа без «pull-up» резистора для увеличения числа «ступенек» ЦАП;



p) [2-140]



c)



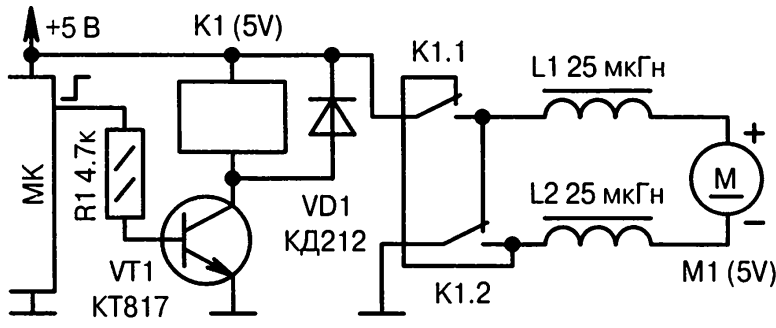
m) [2-138]

Рис. 2.78. Схемы подключения электродвигателей через транзисторные ключи (окончание):

р) фазо-импульсное управление двигателем переменного тока M1. Чем большее время за период сетевого напряжения открыт транзистор VT1, тем быстрее вращается вал двигателя;

с) включение мощного двигателя переменного тока M1 производится через оптотиристор VS1, который обеспечивает гальваническую развязку от цепей МК;

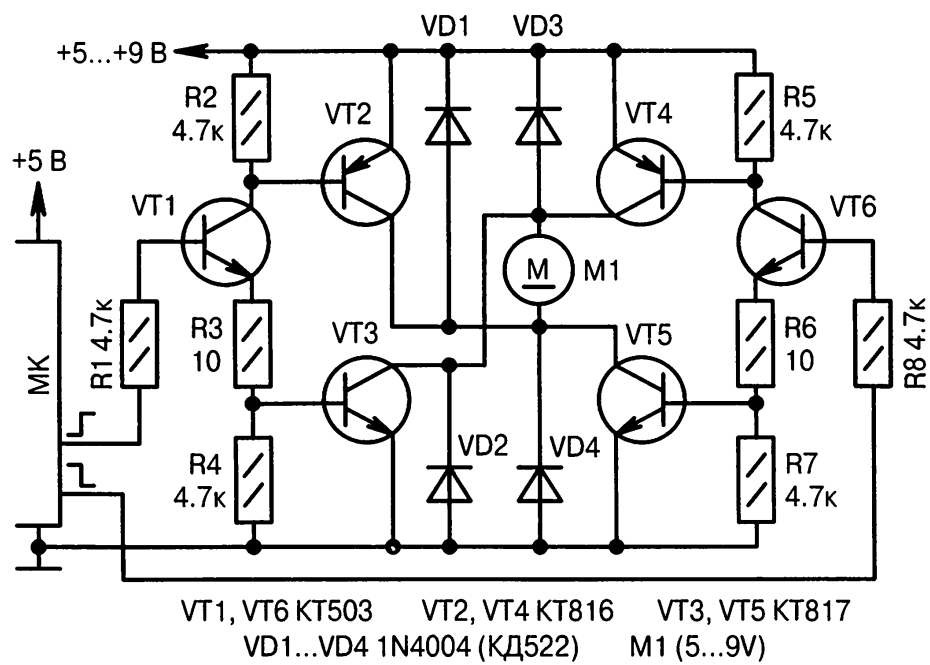
т) аналогично Рис. 2.78, п, но с одним кольцом обратной связи через элементы C1, R6, R8. Резистор R4 регулирует частоту вращения вала двигателя M1 плавно, а МК — дискретно.



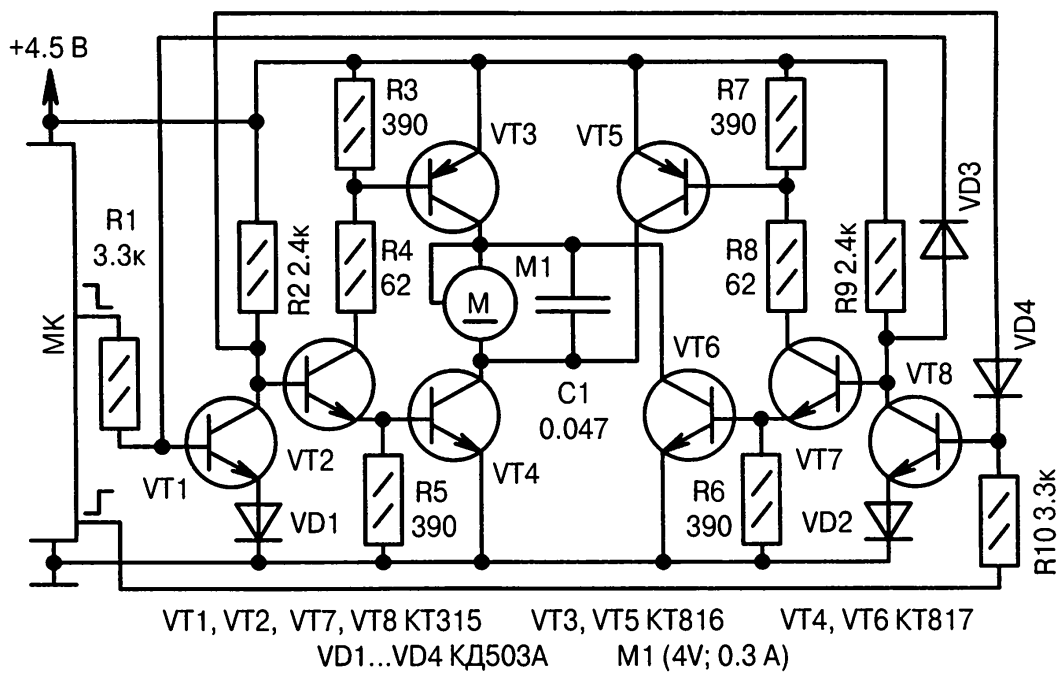
a)

Рис. 2.79. Мостовые схемы подключения электродвигателей к МК (начало):

а) направление вращения вала двигателя M1 изменяется мостовой «механической» схемой на двух группах контактов реле K1.1, K1.2. Частота переключения контактов реле должна быть низкой, чтобы быстро не выработался ресурс. Дроссели L1, L2 снижают коммутационные токи при переключении реле и, соответственно, уровень излучаемых электромагнитных помех;



б)



в) [2-141]

Рис. 2.79. Мостовые схемы подключения электродвигателей к МК (продолжение):

б) при ВЫСОКОМ уровне на верхнем и НИЗКОМ уровне на нижнем выходе МК транзисторы $VT1\dots VT3$ открываются, а транзисторы $VT4\dots VT6$ закрываются, и наоборот. Когда полярность питания двигателя $M1$ изменяется на противоположную, то его ротор вращается в обратную сторону. Сигналы с двух выходов МК должны быть противофазными, но с небольшой паузой НИЗКОГО уровня между импульсами, чтобы закрыть оба плеча (устранение сквозных токов). Диоды $VD1\dots VD4$ уменьшают выбросы напряжения, тем самым защищая транзисторы от пробоя;

в) аналогично Рис. 2.79, б, но с другими номиналами элементов, а также с аппаратной защитой от одновременного открывания транзисторов одного плеча при помощи диодов $VD3$, $VD4$. Диоды $VD1$, $VD2$ повышают помехоустойчивость при большом расстоянии до МК. Конденсатор $C1$ снижает «искровые» импульсные радиопомехи, генерируемые двигателем $M1$;

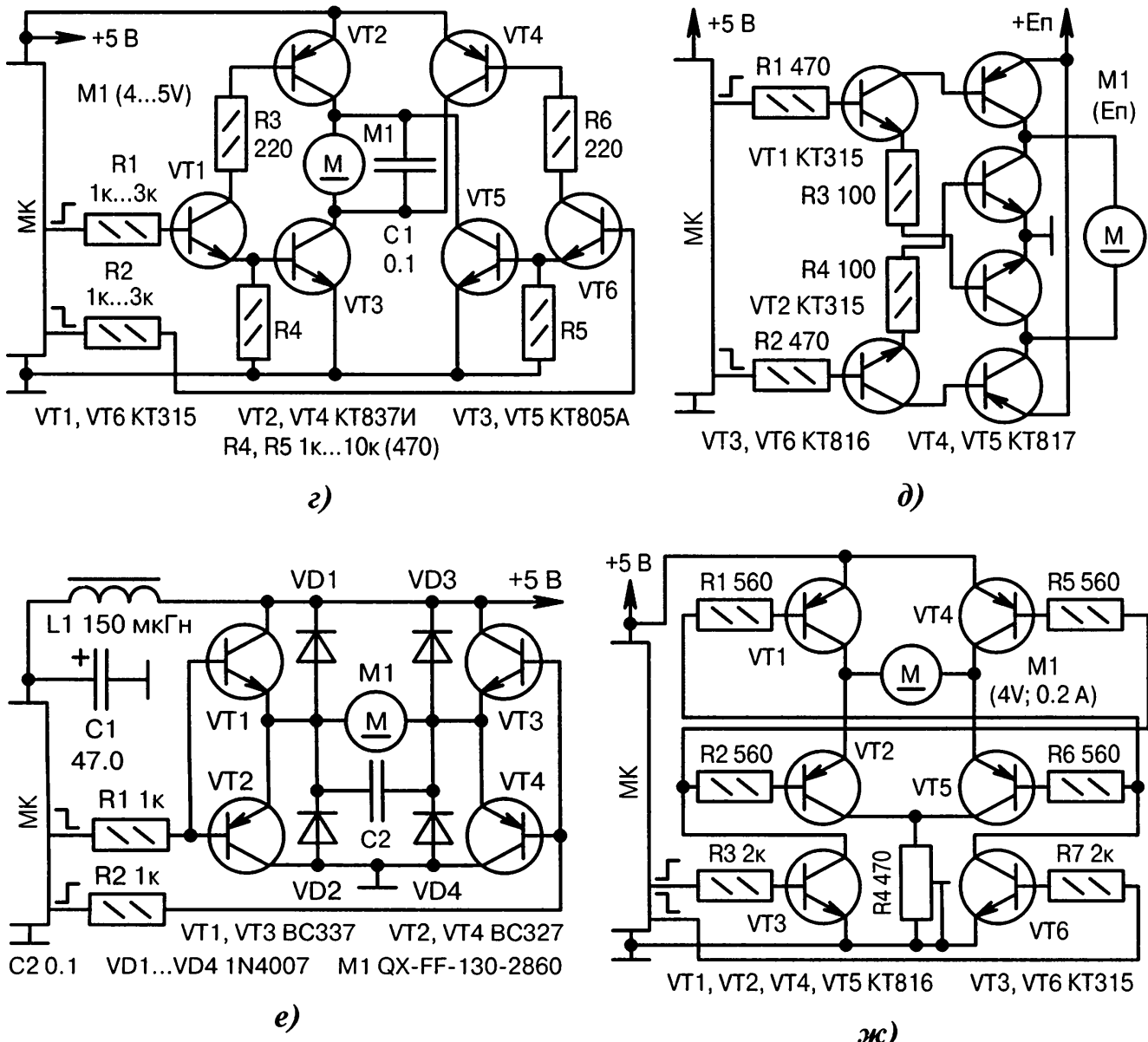


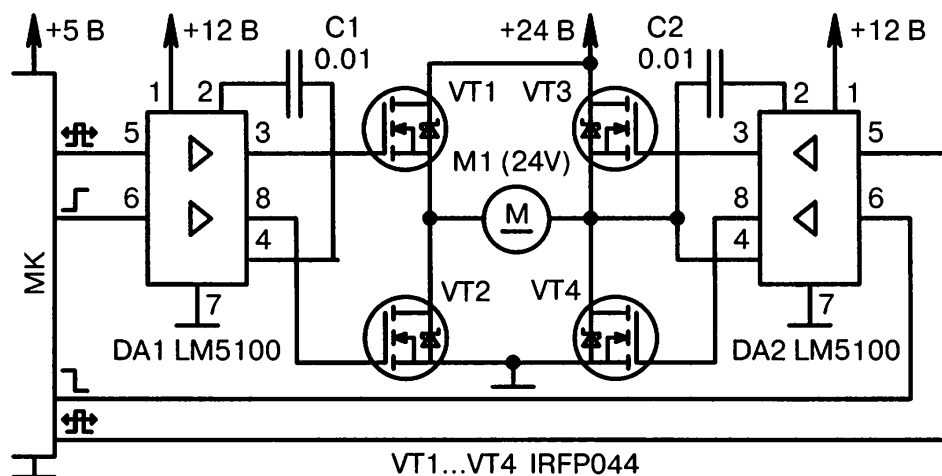
Рис. 2.79. Мостовые схемы подключения электродвигателей к МК (продолжение):

г) аналогично Рис. 2.79, б, но с отсутствием «запирающих» резисторов в базовых цепях транзисторов VT2, VT4. Расчет на то, что обмотка двигателя M1 достаточно низкоомная, следовательно, при рестарте МК внешние помехи на «висящих в воздухе» базах транзисторов VT1, VT2, VT4, VT6 не смогут открыть их коллекторные переходы;

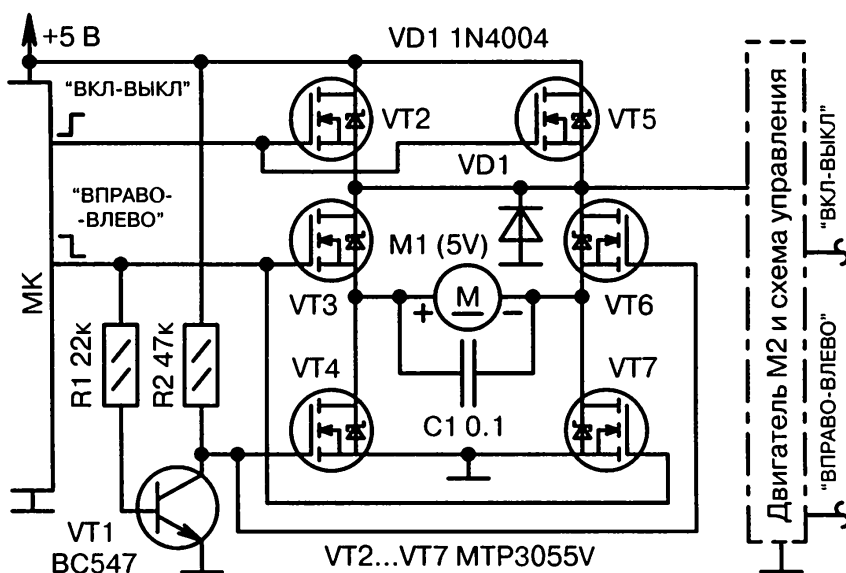
д) аналогично Рис. 2.79, б, но с максимальным упрощением схемы. Рекомендуется для устройств, выполняющих второстепенные функции. Напряжение питания $+E_{\Pi}$ должно соответствовать рабочему напряжению двигателя M1;

е) в отличие от предыдущих схем, транзисторы VT1...VT4 включаются по схеме с общим эмиттером и управляются ВЫСОКИМ/НИЗКИМ уровнем непосредственно с выходов МК. Двигатель M1 должен быть рассчитан на рабочее напряжение 3...3.5 В. Диоды VD1...VD4 уменьшают выбросы напряжения. Фильтр L1, C1 снижает импульсные помехи по питанию от двигателя M1, которые могут приводить к сбоям в работе МК. Встречающиеся замены деталей: VT1, VT3 — KT972; VT2, VT4 — KT973; VD1...VD4 — КД522Б, R₁ = 3.3 кОм; R₂ = 3.3 кОм;

ж) мостовая схема на четырех управляющих транзисторах VT1, VT2, VT4, VT5 структуры $p-n-p$. Подстроенным резистором R4 регулируется напряжение на двигателе M1, а значит, и частота оборотов сразу для двух направлений вращения ротора;



3) [2-142]



i) [2-143]

Рис. 2.79. Мостовые схемы подключения электродвигателей к МК (окончание):

3) мостовая схема для управления мощным двигателем M_1 (24 В, 30 А). Смена полярности напряжения на двигателе производится противофазными уровнями на средних выходах МК, а скорость вращения — методом ШИМ на верхнем и нижнем выходах МК;

и) транзисторы VT_2 , VT_5 подают питание на мостовую схему управления двигателем M_1 . Их запараллеливание позволяет подключить к диоду VD_1 ещё одну такую же схему.

2.5.2. Микросхемы управления двигателями

Если мостовую схему вместе с мощными транзисторами и защитными диодами «спрятать» внутрь одного корпуса, то получится интегральная аналоговая микросхема управления двигателем. Преимущество — малые габариты, возможность установки единого радиатора для всех транзисторов, минимум навесных деталей, повышенная надёжность из-за наличия внутренних цепей защиты от коротких замыканий, выбросов напряжения и температурного перегрева кристалла.

Микросхему управления двигателем иногда называют микросхемой управления мотором, дословно переводя применяемый в даташитах зарубежный термин

«Motor Drivers». В действительности в английских словарях мирно сосуществуют два родственных термина «motor, engine» (мотор, от лат. « тот, кто двигает ») и «engine, motor, mover» (двигатель). Электронщики же обычно употребляют название «электродвигатель» или «сервопривод» для габаритных конструкций, и только для миниатюрных изделий — «микромоторчик».

В лентопротяжных механизмах магнитол применяют коллекторные двигатели постоянного тока (КДПТ) с встроенной микросхемой стабилизации частоты вращения вала. Такие двигатели имеют преимущественное направление вращения. Какое именно, надо смотреть по наклейке на корпусе: «CCW» (Contra Clock Way) для левостороннего и «CW» (Clock Way) — для правостороннего вращения.

На Рис. 2.80, а...з приведены схемы подключения двигателей к МК через интегральные микросхемы.

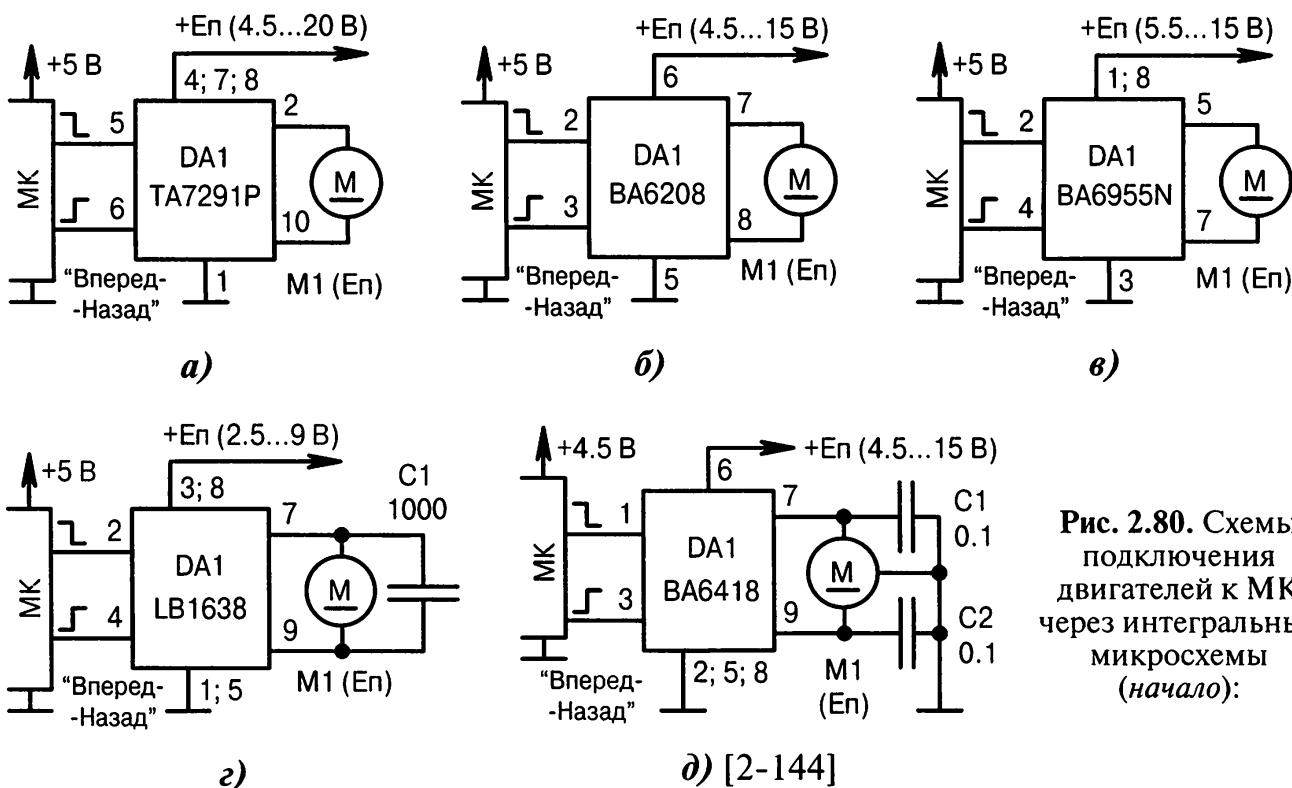


Рис. 2.80. Схемы подключения двигателей к МК через интегральные микросхемы (начало):

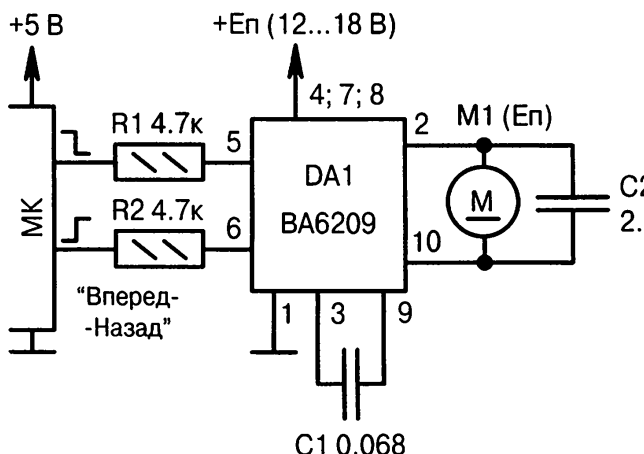
а) микросхема *DA1* (фирма Toshiba) обеспечивает ток в нагрузке 1 А при мощности 12.5 Вт. Входные сигналы должны иметь КМОП-уровни. На линиях МК возможны сочетания: НИЗКИЙ/НИЗКИЙ — отключение двигателя с обрывом электрических связей (Z-состояние); НИЗКИЙ/ВЫСОКИЙ — прямое питание двигателя; ВЫСОКИЙ/НИЗКИЙ — инверсное питание двигателя; ВЫСОКИЙ/ВЫСОКИЙ — останов двигателя с «заземлением» его выводов;

б) аналогично Рис. 2.80, а, но с микросхемой *DA1* (фирма ROHM), имеющей ТТЛ-совместимые входы, ток нагрузки 0.5 А, мощность рассеяния 0.7 Вт;

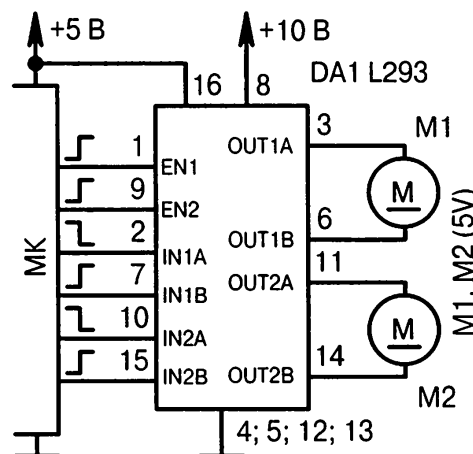
в) аналогично Рис. 2.80, б, но с другим типом микросхемы *DA1*, током нагрузки 1 А и мощностью рассеяния 1 Вт;

г) аналогично Рис. 2.80, а, но на микросхеме *DA1* (фирма Sanyo), имеющей ток нагрузки 1 А, мощность рассеяния 1 Вт. Конденсатор *C1* снижает радиочастотные помехи;

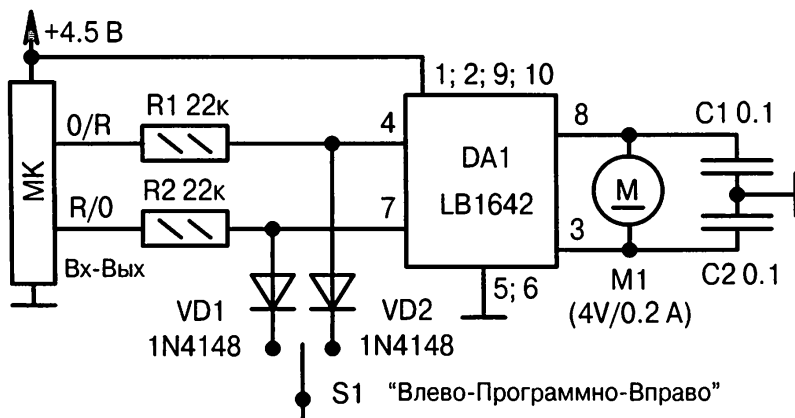
д) аналогично Рис. 2.80, б, но с другим типом микросхемы *DA1*, током нагрузки 0.7 А и мощностью рассеяния 0.8 Вт. Конденсаторы *C1*, *C2* снижают электромагнитные помехи. С той же целью корпус двигателя «заземляется на массу» (общий провод);



e) [2-145]



ж)



з)

● Рис. 2.80. Схемы подключения двигателей к МК через интегральные микросхемы (окончание):

е) аналогично Рис. 2.80, б, но с другим типом микросхемы *DA1*, током нагрузки 2.2 А и мощностью рассеяния 1.6 Вт. При подаче от МК двух ВЫСОКИХ уровней, на выходах микросхемы *DA1* появляется не обрыв, а НИЗКОЕ напряжение, выключающее двигатель *M1*. Конденсатор *C1* устраняет сквозные токи в мостовой схеме выходного каскада. Необязательные резисторы *R1*, *R2* защищают входы МК при внутреннем пробое микросхемы *DA1*. Если вместо двигателя *M1* поставить трансформатор, то получится преобразователь постоянного напряжения $+E_p$ в «почти переменное», при этом сигналы с выходов МК надо синхронно переключать с достаточно высокой частотой;

ж) двухканальный драйвер на микросхеме *DA1* фирмы Texas Instruments. Ток нагрузки 0.6 А, мощность рассеяния 2...5 Вт, ТТЛ-совместимые входы, для которых требуется отдельное питание +5 В. Двигатели *M1*, *M2* вращаются в ту или иную сторону только при противофазных сигналах соответственно на входах «IN1A», «IN1B» и «IN2A», «IN2B». Общее разрешение работы осуществляется подачей ВЫСОКИХ уровней на входы EN1 и EN2 микросхемы *DA1*;

з) автоматическое и ручное управление двигателем *M1* через микросхему *DA1* фирмы Sanyo. В среднем положении переключателя *S1* направление вращения ротора двигателя влево или вправо задаёт МК, переводя одну из линий в режим выхода с НИЗКИМ уровнем, а вторую — в режим входа с «pull-up» резистором. Когда переключатель *S1* устанавливается в крайнее положение, то МК «прослушивает» состояние входной линии и если на ней обнаруживается НИЗКИЙ уровень, значит переключатель *S1* активен и управление от выходов МК программно снимается.